

Ce document a été mis en ligne par l'organisme FormaV®

Toute reproduction, représentation ou diffusion, même partielle, sans autorisation préalable, est strictement interdite.

Pour en savoir plus sur nos formations disponibles, veuillez visiter : <u>www.formav.co/explorer</u>

CORRIGE

Ces éléments de correction n'ont qu'une valeur indicative. Ils ne peuvent en aucun cas engager la responsabilité des autorités académiques, chaque jury est souverain.

CORRIGE

Question 1 : Actions dues à la neige

1.1 - Charges de neige:

Neige au sol: EC1 – Partie 1.3 - §4

Istres \rightarrow Bouches du Rhône \rightarrow Région A2 \rightarrow $s_{s,o} = 0.45 \text{ kN/m}^2$

Majoration pour altitude : $\Delta s_1 = 0$ car altitude < 200 m

Neige caractéristique $s_k = 0.45 \text{ kN/m}^2$ Neige accidentelle $s_{Ad} = 1 \text{ kN/m}^2$

Neige sur la toiture: EC1 - Partie 1.3 - §5 et 6

Toiture simple pente + acrotères Angle du versant : $\alpha = \tan^{-1}0.03 = 1.72^{\circ}$

Majoration pour faible pente : $s^* = 0.2 \text{ kN/m}^2$ car pente $\leq 3\%$ sur toute la toiture

Coefficients : Ce = Ct = 1 (valeurs par défaut)

Cas S1: Neige sans accumulation § 5.3.2 (toiture à un seul versant)

Tableau 5.2 \rightarrow $\mu_1(\alpha) = 0.8$ \rightarrow $S1 = \mu_1.Ce.Ct.s_k + s* = 0.8.0,45 + 0.2 = 0.56 kN/m²$

Cas S2: Neige avec accumulation §5.3.2 + § 6.2

Idem cas S1 + accumulation à proximité des acrotères

Au point haut:

Hauteur de l'acrotère h = 0,25 m
$$\rightarrow \mu_2 = \frac{\gamma \cdot h}{s_k} = \frac{2.0,25}{0,45} = 1,11$$
 (0,8 \le \mu_2 \le 1,6)

$$S2 = 1,11.0,45 + 0,2 = 0,70 \text{ kN/m}^2$$

 $Longueur \ de \ l'accumulation: \ l_s = 2.h = 2.0, 25 = 0, 5 \ m \ mais \ 5m \le l_s \le 15m \quad donc \ \overline{l_s = 5 \ m}$

Au point bas:

Hauteur de l'acrotère h = 0,70 m
$$\rightarrow \mu_2 = \frac{\gamma . h}{s_k} = \frac{2.0,70}{0,45} = 3,11 !$$
 (0,8 $\leq \mu_2 \leq 1,6$)

$$S2 = 1,6.0,45 + 0,2 = 0,92 \text{ kN/m}^2$$

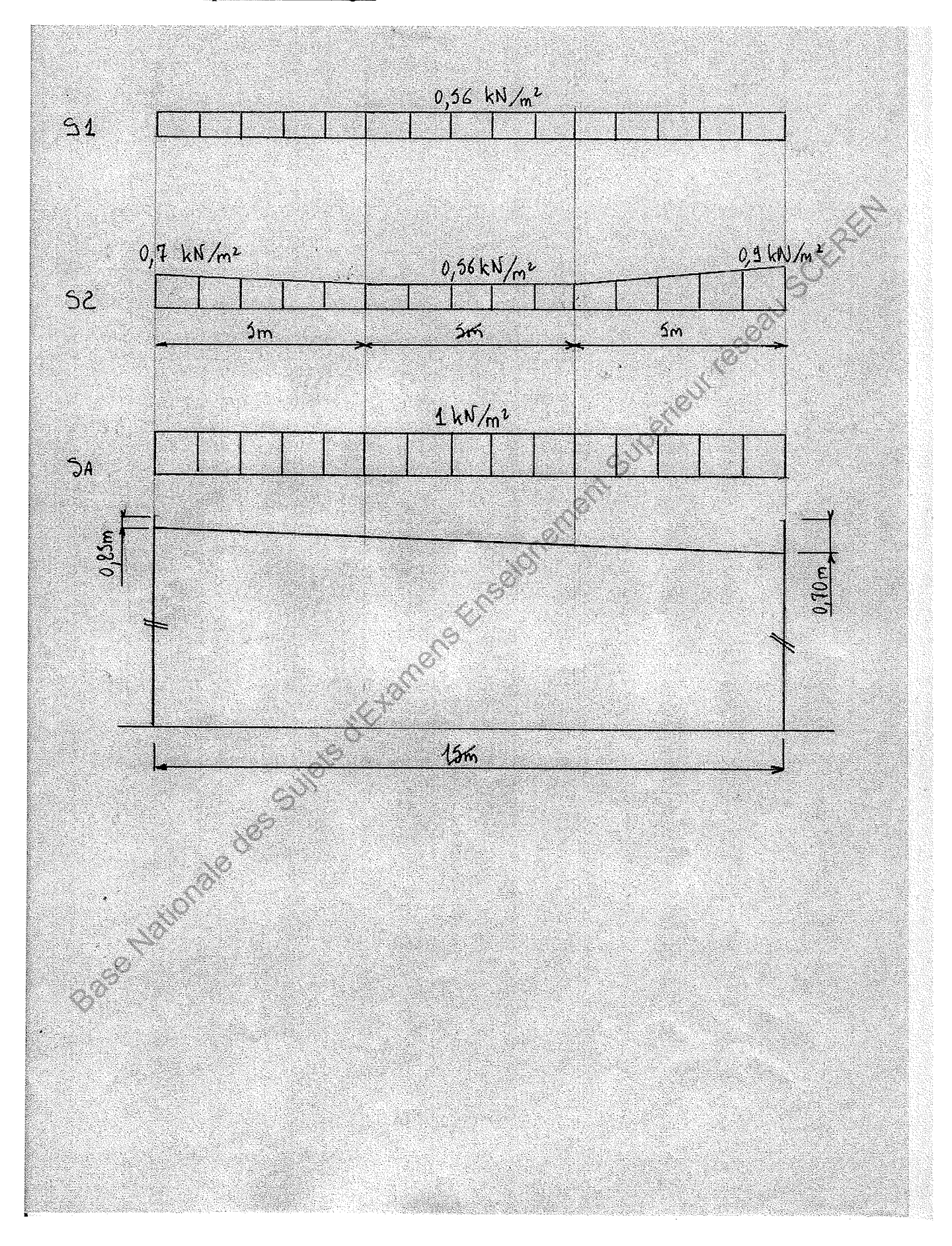
Longueur de l'accumulation : $l_s = 2.h = 2.0,70 = 1,4 \text{ m}$ mais $5m \le l_s \le 15m$ donc $l_s = 5 \text{ m}$

Cas S_A: Neige accidentelle

$$S_A = \mu_1.Ce.Ct.s_{Ad} + s* = 0.8.1 + 0.2 = 1 \text{ kN/m}^2$$

CME4CAL session 2009

1.2 – Schémas des repartitions de neiges: voir DR1



Question 2: Actions dues au vent

2.1 - Istres \rightarrow Bouches du Rhône \rightarrow Région 3 \rightarrow $V_b = V_{b,0} = 26 \text{ m/s}$ Pression de référence : $q_b = \frac{1}{2} \cdot p \cdot V_b^2 = \frac{1}{2} \cdot 1,225 \cdot 26^2 = 414,05 \text{ Pa} \approx 0,414 \text{ kN/m}^2$

Coefficient d'exposition:

Fig 4.2 → classe de rugosité III b

 $c_e(10,7 \text{ m}) = 1,52$

Pression dynamique de pointe :

 $q_p = c_e \cdot q_b = 1,52. \ 0,414 = 0,629 \ kN/m^2$

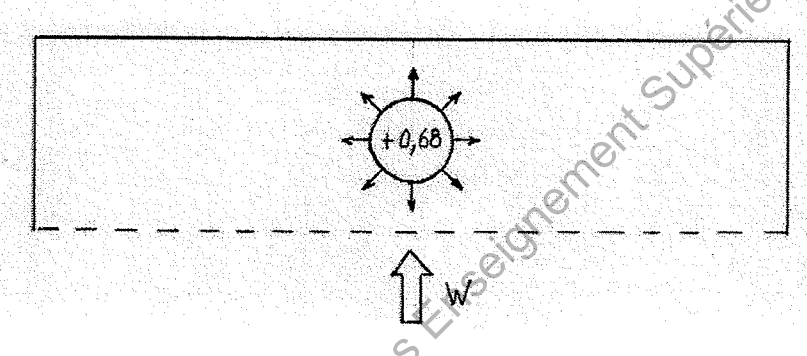
2.2 - Coefficients de pression extérieure: voir DR 2

2.3 – Coefficient de pression intérieure :

Ce bâtiment présente évidemment une face dominante, pour le cas de vent étudié :

$$c_{pi} = 0.9 c_{pe} = 0.9 (+0.76) = +0.68$$

Schéma:



2.4 – Coefficients résultants :

- la zone de couverture la plus exposée est la zone F, sous le cas de vent étudié elle subit un coefficient de pression résultant $c_{p,net} = c_{pe} c_{pi} = -1, 4 (+0,68) = -2,08$
- la zone de bardage la plus exposée est la zone A, sous le cas de vent étudié elle subit un coefficient de pression résultant $c_{p,net} = c_{pe} c_{pi} = -1, 2 (+0,68) = -1,88$
- pour les acrotères, le coefficient de pression résultant c_{p,net} peut être pris égal à 2 sans considération de zone ni de pente de toiture (art 1 du § 7.4.1)

Question 3 : Descente de charges

3.1 – Charge de neige:

 $S1 = 0.56 \text{ kN/m}^2 \cdot 10 \text{m} \cdot 1.1 = 6.16 \text{ kN/m}$ $S_A = 1 \text{ kN/m}^2$. 10m .1,1 = 11 kN/m

3.2 – Charges de vent:

Cas W+:

pression

 $w = q_p.c_{p,net} = 0.60 \cdot (+0.5) = +0.30 \text{ kN/m}^2$

charge linéique

II réseau schaff $W^{+} = 0.30 \text{ kN/m}^{2} \cdot 10 \text{m} \cdot 1.1 = +3.3 \text{ kN/m}$

Cas W:

pression

 $w = 0.60 \cdot (-1.3) = -0.78 \text{ kN/m}^2$

Charge lineique

 $W^{-} = -0.78.10.1.1 = -8.58 \text{ kN/m}$

3.3 – Charges permanentes:

Profil traverse - IPE 400:

 $66.3 \text{ kg/m} \times 15 \text{ m} = 994.5 \text{ kg} =$

CV 3 - Φ139.7 x 5:

CV 1 – CV 2 – Φ 139.7 x 5 : 16,6 kg/m x 4 x $\sqrt{5^2+10^2}$ /2 = 371,2 kg = 16.6 kg/m x 4 x 10m/2 = 332 kg = 0

3,712 kN 3,320 kN

Pannes - Σ^+300 :

8,5 kg/m x 7 x 10m x 1,1 = 654,5 kg =

6,545 kN

Multicouches:

 $45 \text{ kg/m}^2 \times 10 \text{m} \times 15 \text{m} \times 1,1 = 7425 \text{ kg} =$

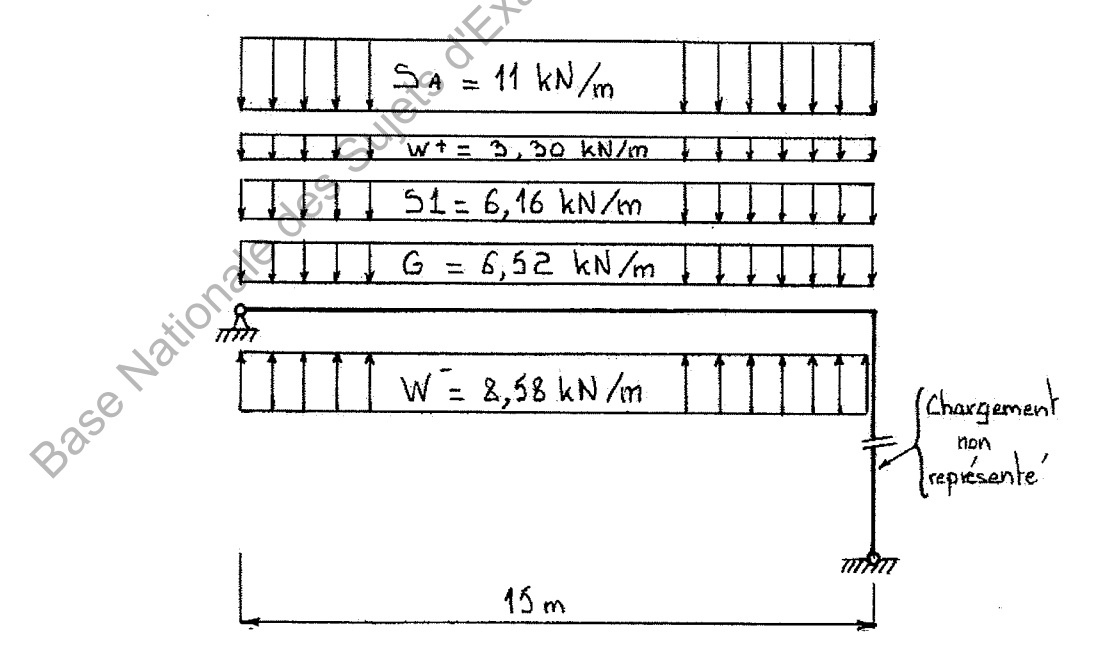
74,25 kN

Total = 97,772 kN

Charge linéique

$$G = \frac{97,772}{15} \approx 6,52$$
 kN/m

3.4 - Schéma:



Document réponse : DR 2

Compléter toutes les indications manquantes (titres, dimensions, références des § et tableaux,...) En cas d'interpolation graphique, justifier les graphes sur votre copie.

Détermination des coefficients de pression extérieure Cpe

Direction du vent : TRANSVERSALE

 $\theta = Sans \ objet$

Caractéristiques du bâtiment :

b = 60,5 m

dimension horizontale perpendiculaire à la direction du vent

e = min (b ou 2h) = 21,4 m

d = 15,6 m

dimension horizontale parallèle à la direction du vent

 $/\mathbf{d} = 0.686$

h = 10,7 m

hauteur du bâtiment

 $\mathbf{h}/\mathbf{d} = 0,686$

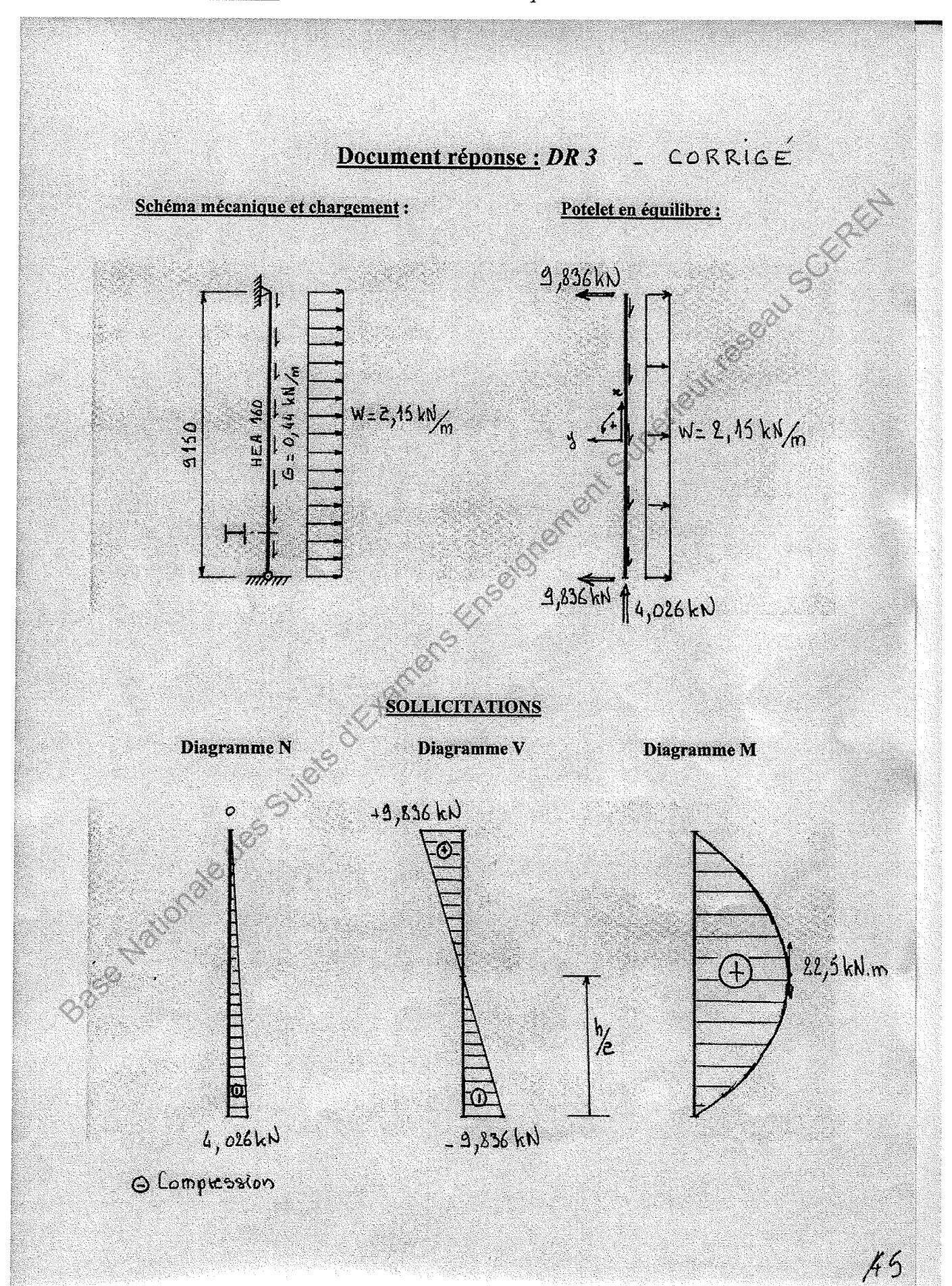
Type de toiture : Terrasse + acrotère

Angle versant $\alpha = 1,72$ °

Elément	Zone	Valeur de C _{pe}	Justifications (si nécessaire)
Murs verticaux - §7.2.2	Faces latérales :		CIIDO
	Zone A:	- 1,2	$h < b \rightarrow 1$ seule zone en élévation
	Zone B :	- 0,8	· duelu.
	Zone C:	- 0,5	Ensells
	Face au vent :		Interpolation :
	Zone D :	+ 0,76	+0.7 +0.1.(0.686 -0.25)/(1 -0.25) = +0.76
	Face « arrière »:	S.S	Interpolation:
	Zone E:	-0,42	-0,3 -0,2.(0,686-0,25)/(1-0,25) = - 0,416
Toiture - § 7.2.3 Tableau 7.2.	Zone F:	- 1,4	$h_p/h = 0.50 \text{ m}/10.2 \text{m} = 0.049 \approx 0.05$
	Zone G:	- 0,9	
	Zone H :	- 0,7	
	Zone I :	-0,2 ou + 0,2	
	Zone J :	Sans objet	

4.1 -Etude des sollicitations:

Document DR3 à completer



4.2 – Vérification ELU:

- 4.2.1 -La combinaison ELU à utiliser est : 1,35.G + 1,5.W
- 4.2.2 - $N_{pl} = A$. $f_v = 3880.235 = 911.8 \text{ kN}$ $N_{Ed} = 1,35.4,026 = 5,435 \text{ kN}$ $\frac{N_{Ed}}{N_{nl}} = \frac{5,435}{911,8} = 0,006$

$$V_{Ed} = 1,5.9,836 = 14,75 \text{ kN}$$

$$V_{pl} = A_v.f_y/\sqrt{3} = 1320.235/\sqrt{3} = 179,1 \text{ kN}$$

$$V_{pl} = A_v.f_y/\sqrt{3} = 1320.235/\sqrt{3} = 179,1 \text{ kN}$$

4.2.3 -

$$\begin{vmatrix} V_{Ed} \\ V_{pl} \end{vmatrix} = \frac{14,75}{179,1} = 0,082$$
 Vérification en flexion / axe fort, section de classe 1: § 6.2.5
$$\frac{M_{Ed}}{M_{C,Rd}} \le 1$$

$$\frac{M_{Ed}}{M_{C,Rd}} = 1,5.22,5 = 33,75 \text{ kN.m}$$

$$\frac{M_{Ed}}{M_{C,Rd}} = \frac{33,75}{57,6} = 0,56 < 1$$
 Vérification ELU satisfaite
La résistance de la section droite (N_{pl}, V_{pl}, M_{pl}) augmente proportionnellement à 1'augmentation de la nuance(f_y)

4.2.4 -

4.3 – Vérification ELS:

- 4.3.1 - $W_{adm} = H/150 = 9150/150 = 61 \text{ mm}$ Critère ELS: W seul EC3 § 7.2.2 – Montants supports de bardage Combinaison caractéristique : flèche horizontale due aux charges variables
- 4.3.2 -Vérification ELS $w_2 = \frac{5.q_{serv}.l^4}{384.E.I} = \frac{5.2,15.9150^4}{384.210000.1673.10^4} = 55,85mm$

Ratio ELS:
$$\frac{w_2}{w_{adm}} = \frac{55,85}{61} = 0,92 < 1$$
 \rightarrow Vérification ELS satisfaite

Inutile, les ratios sont satisfaisants

Avec un critère ELS plus défavorable, une optimisation s'impose. C'est la possibilité pour le candidat volontaire de rattraper les points éventuellement perdus

Optimisation:

Question 5: Etude d'un portique courant

5.1 – Analyse informatique:

5.1.1 – Schéma n°1: Voir document réponse

5.1.2 - Schéma n°2: Voir document réponse

Chargement sur la traverse : $q_y = -6.5 + (-11) = -17.5 \text{ kN/m}$ Chargement au nœud 3 : $F_y = -45 + (-80) = -125 \text{ kN}$

5.1.3 - Schémas n°3 et 4: Voir document réponse

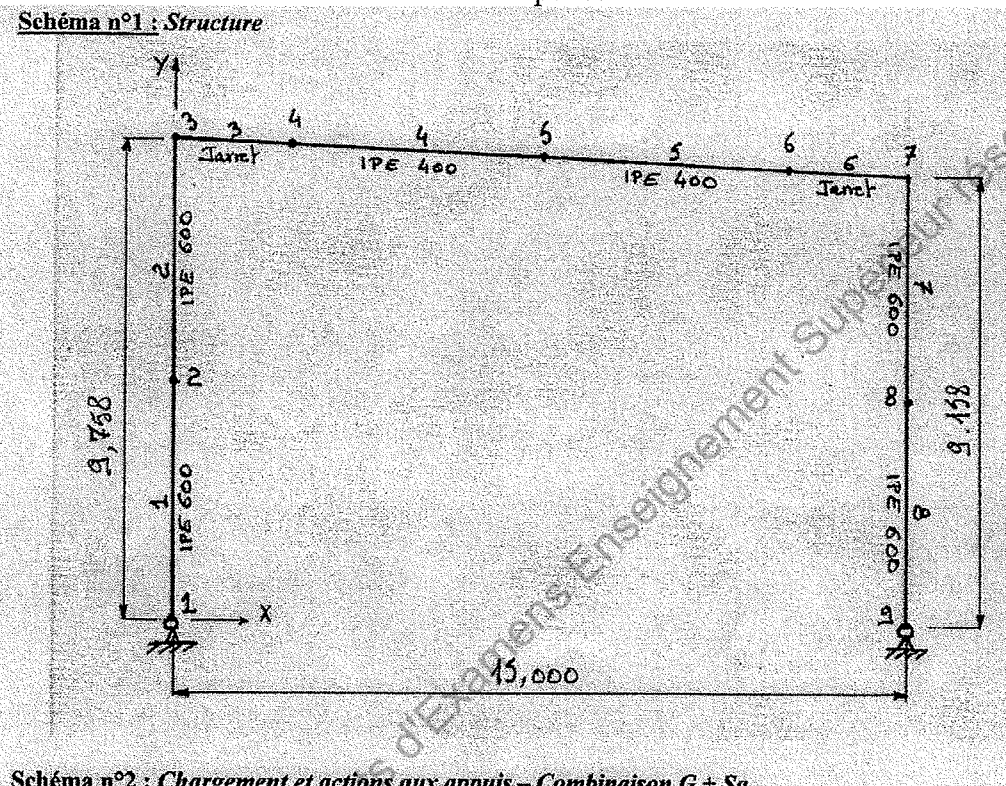
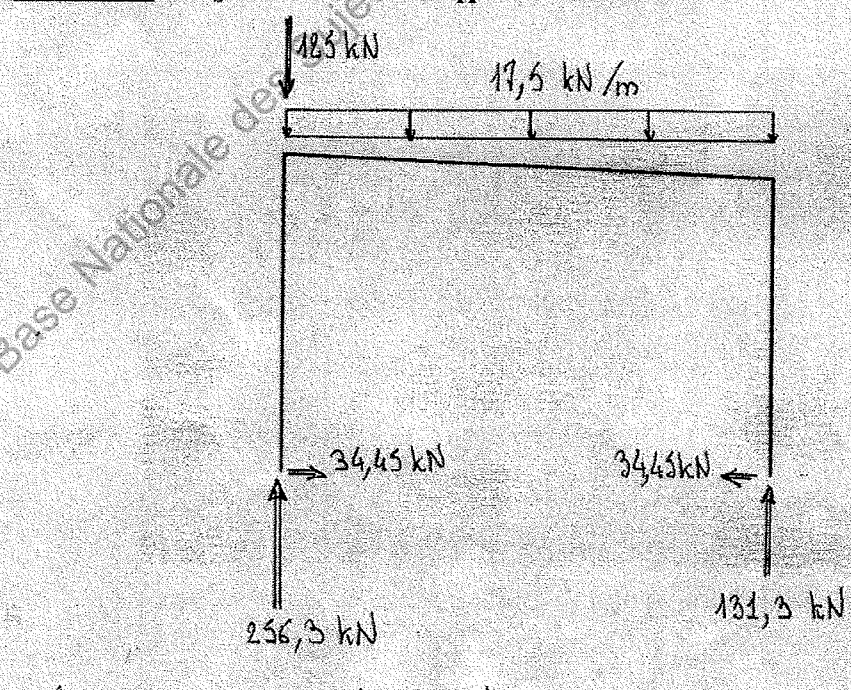


Schéma n°2: Chargement et actions aux appuis – Combinaison G + Sa



 $\Sigma F_{\nu} = -125 - (17,5 \times 15) + 256,34,131,35 = -0,2 \text{ kN } \approx 0 \text{ (Pb del'aungle)}$

Schéma n°3: Poteau 1-3 en équilibre et diagrammes N, V, M

Poteau 1-3

N

V

M

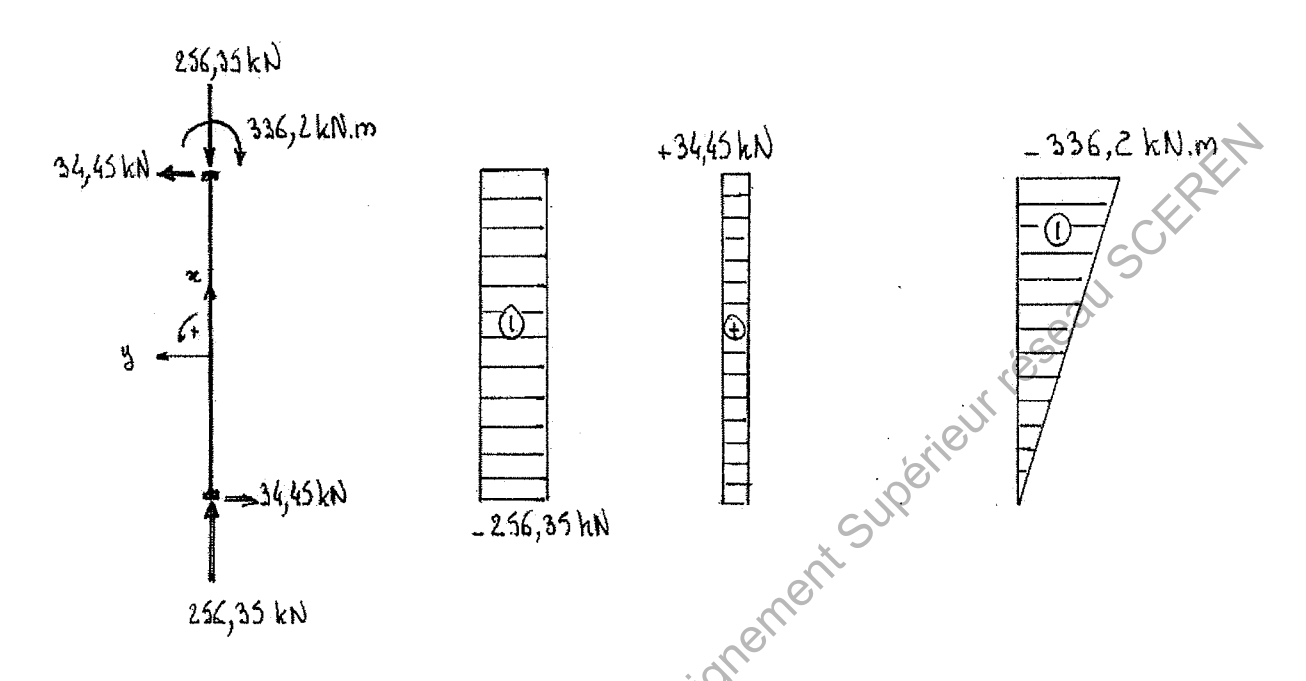


Schéma n°4 : Næud 3 en équilibre

Pente 4%: \a = 2,29° & willets different 125,kN

132.6 kN

336,2 kN.m

256.35 kN

Vent:

I 1/2 = 0 - 0

ZFX=0 _ 34,45 _ 132,6. sinx _ 23, Los x = _0,025 =0 _ ox

IFY =0 __ 256,35_125_132,6 word +25,2 sina = +0,022 20 __ OK

86

5.2 – Vérification du poteau 1-3:

5.2.1 – Longueur de flambement dans le plan du portique :

ENV 1993 – Annexe E

Liaison en pied:

articulation

Liaison en tête:

nœud rigide → $\eta_3 = \text{Kc} / (\text{Kc+Kb})$

 $\eta_1 = 1$

Kc: rigidité du poteau

Kb: Rigidité de la poutre

$$\eta_3 = \frac{\frac{92083,5}{975,8}}{\frac{92083,5}{975,8} + \frac{40000}{1500}} = 0,78$$

$$\frac{L_{cr}}{L_0} = \sqrt{\frac{1 - 0.2.1,78 - 0.12.0,78}{1 - 0.8.1,78 + 0.6.0,78}} = 3.54$$

$$L_{cr,y} = 3,54.9,758 = 34,54 \text{ m}$$

5.2.2 – Longueur de flambement hors du plan du portique :

Liaison en pied:

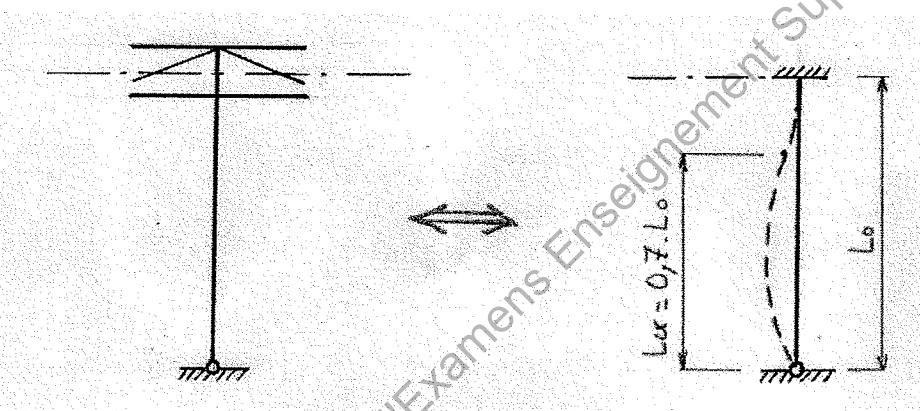
articulation

Liaison en tête:

encastrement, la raideur de la poutre treillis (hauteur 1500mm) limite la

rotation en tête.

Structure à nœuds fixes du fait de la présence de la poutre au vent transversale.



5.2.3 – Vérification ELU du poteau :

Compression + flexion /axe fort – IPE 600 – S 235

Section de classe 1 car N < 795 kN (voir tableau pratique p.154)

$$N_{Ed} = 256 \text{ kN}$$

$$N_{pl} = A.f_y = 15600.235 = 3666 \text{ kN}$$

$$(N_{Ed}/N_{pl} = 0.07)$$

$$M_{y,Ed} = 336 \text{ kN.m}$$

$$N_{Ed} = 256 \text{ kN} \qquad N_{pl} = A.f_y = 15600.235 = 3666 \text{ kN} \qquad (N_{Ed}/N_{pl} = 0,07)$$

$$M_{y,Ed} = 336 \text{ kN.m} \qquad M_{pl,y} = W_{pl,y}.f_y = 3512,4.235 = ... = 825,4 \text{ kN.m} \qquad (M_{Ed}/M_{pl,y} = 0,41)$$

$$(M_{Ed}/M_{pl,y} = 0.41)$$

Flambement dans le plan du portique

$$L_{cr,y} = 34.5 \text{ m}$$
; $I_y = 92083.5 \text{ cm}^4$; $i_y = 24.3 \text{ cm}$

$$N_{cr,y} = \frac{\pi^2 . E.I_y}{L_{cr,y}^2} = 1603kN$$

$$\overline{\lambda}_{y} = \sqrt{\frac{N_{pl}}{N_{cr,y}}} = 1,512$$

Courbe a :
$$\chi_y = 0.367$$

Flambement hors du plan du portique

$$L_{cr.z} = 6.85 \text{ m}$$
; $I_z = 3385.8 \text{ cm}^4$; $I_z = 4.66 \text{ cm}$

$$N_{cr,z} = 1496kN$$

$$\overline{\lambda}_z = 1,565$$

$$\chi_z = 0.319$$

$$\text{Rem}: \ \lambda_{y} = \frac{L_{cr,y}}{i_{y}} = 142 \Rightarrow \overline{\lambda}_{y} = \frac{\lambda_{y}}{93.9.\varepsilon} = 1,512 \qquad \qquad \lambda_{z} = 147 \Rightarrow \overline{\lambda}_{z} = 1,565$$

$$\lambda_z = 147 \Rightarrow \overline{\lambda}_z = 1,565$$

Déversement:

$$M_{cr} = 956,5 \text{ kN.m}$$

avec

$$k_w = 1$$

 $k_z L = 6.85 \text{ m}$

E = 210000 MPa

$$\begin{array}{lll} k_w = 1 & E = 210000 \; MPa \\ k_z.L = 6,85 \; m & G = 80770 \; MPa \\ I_w = 2846.10^3 \; cm^6 & Z_G = 0 \\ I_t = 165,4 \; cm^4 & C_1 = 1,77 \\ I_z = 3387 \; cm^4 & C_2 = sans \; objet \end{array}$$

$$I_w = 2846.10^3 \text{ cm}^6$$

$$I_r = 3387 \text{ cn}$$

$$I_z = 3387 \text{ cm}^4$$

$$\overline{\lambda}_{LT} = \sqrt{\frac{M_{pl,y}}{M_{cr}}} = 0.93$$

Section laminée

 $h/b>2 \rightarrow Courbe b :$

$$\chi_{LT} = 0.64$$

Vérification:

$$\frac{N_{Ed}}{\chi_{y} \cdot \frac{N_{Rk}}{\gamma_{M1}}} + k_{yy} \cdot \frac{M_{y,Ed}}{\chi_{LT} \cdot \frac{M_{y,Rk}}{\gamma_{M1}}} \le 1$$

$$\frac{N_{Ed}}{\chi_z \cdot \frac{N_{Rk}}{\gamma_{M1}}} + k_{zy} \cdot \frac{M_{y,Ed}}{\chi_{LT} \cdot \frac{M_{y,Rk}}{\gamma_{M1}}} \le 1$$

$$\frac{256}{0,367.\frac{3666}{1}} + 1,03.\frac{336}{0,64.\frac{825,4}{1}} \le 1$$

$$\chi_{z} \cdot \frac{\chi_{z}}{\gamma_{M1}} \qquad \chi_{LT} \cdot \frac{\gamma_{AR}}{\gamma_{M1}}$$

$$\frac{256}{0.319 \cdot \frac{3666}{1}} + 0.59 \cdot \frac{336}{0.64 \cdot \frac{825,4}{1}} \le 1$$

$$0.219 + 0.375 = 0.60 < 1$$

$$0,190 + 0,655 = 0,85 < 1$$

Le poteau est stable, c'est la flexion + flambement par rapport à l'axe fort qui est préjudiciable.

Justifications complémentaires

$$N_{cr,TF} = 4236 \text{ kN}$$
 avec $L_{cr,TF} = 6.85 \text{ m}$ $\frac{N_{Ed}}{N_{cr,y}} = 0,1597$ $\frac{N_{Ed}}{N_{cr,z}} = 0,1711$ $\frac{N_{Ed}}{N_{cr,TF}} = 0,0604$ $\overline{\lambda}_{0,\lim} = 0,25$ avec $C1 = 1,77$

Pour un moment uniforme
$$M_{cr,0} = 956,5/1,77 = 540 \text{ kN.m} \rightarrow \lambda_0 = \sqrt{\frac{825,4}{540}} = 1,24$$

$$\overline{\lambda}_0 > \overline{\lambda}_{0, lim}$$
 :

$$b_{LT} = 0$$
 car $M_z = 0$ $w_y = W_{pl,y}/W_{el,y} = 1,144 (\le 1,5)$

$$C_{yy} = 0.97$$
 $\geq W_{el,y}/W_{pl,y} = 0.874$

$$\mu_{y} = 0.8926 \qquad \qquad |\mathbf{k}_{yy} = 1.03| \qquad ? \text{ à vérifier}$$

$$d_{LT} = 0$$
 car $M_z = 0$ $w_z = W_{pl,z}/W_{el,z} = 1,578 \le 1.5$

$$C_{mz} = C_{mz,0} = 1,041$$
 inutile car $M_z = 0$

$$C_{zy} = 0.866$$
 ≥ 0.458 $k_{zy} = 0.590$? à vérifier

$$M_{el,y} = 721,45 \text{ kN.m}$$

Flambement
$$\rightarrow$$
 idem

Déversement \rightarrow $\overline{\lambda}_{LT} = \sqrt{\frac{M_{el,y}}{M_{cr}}} = 0,8685 \Rightarrow \chi_{LT} = 0,68$
 $C_{my} = 0,936$ $C_{mLT} = 1,0$ (les calculs intermédiaires sont identiques)

 C_{yy} inutile \rightarrow $k_{yy} = 1,0$

$$C_{yy}$$
 inutile \rightarrow $k_{yy} = 1,0$

$$C_{zy}$$
 inutile \rightarrow $k_{zy} = 0.98$ (écart surprenant / classe 1)

Vérification:

$$0,190 + 1,0. \frac{336}{0,68. \frac{721,45}{1}} \le 1$$

$$0,219 + 0,98. \frac{336}{0,68. \frac{721,45}{1}} \le 1$$

$$0,190 + 0,685 = 0,875 < 1 \text{ (+3\%/classe1)}$$

$$0,219 + 0,98. \frac{336}{0,68. \frac{721,45}{1}} \le 1$$

$$0,219 + 0,671 = 0,89 < 1 \text{ (écart surprenant/classe1)}$$

Bizarre : la deuxième vérification devient prédominante !

Conclusion:

Sur la méthode:

Vérification manuelle impossible à faire, la probabilité d'arriver au bout avec exactitude est quasi nulle vu le nombre de facteurs et de quantités à manipuler et à calculer.

Tous les calculs qui précèdent demandent à être vérifiés.

Il est difficile (impossible) de cerner la signification et l'impact des différents calculs effectués.

Sur les résultats de cette vérification :

En classe 1, il apparaît que:

- une flexion en simple courbure par rapport à l'axe fort aggrave le phénomène de flambement par rapport à l'axe fort $(k_{vv}>1)$
- une flexion en simple courbure par rapport à l'axe fort minimise le phénomène de flambement par rapport à l'axe faible $(k_{zy}<1)$

En classe 3, il apparaît que:

- la première vérification vis-à-vis du flambement/axe fort semble cohérente avec l'analyse précédente
- la deuxième vérification vis-à-vis du flambement/axe faible diverge de façon inquiétante avec l'analyse précédente.

Sur l'analyse globale de la structure :

- il y a fort à parier que sous la combinaison de charge étudiée (G+Sa), la structure soit rigide dans le plan du portique et que la longueur de flambement L_{er,y} soit réduite à L₀. Cela remet en cause l'intégralité de la vérification.

Corrigé Note de calcul.doc